

Tabla III.

Slika 1-11. Varijabilnost u obliku i gradi krune kod desnog M_3 pećinskog medvjeda (*Ursus spelaeus* ROSENMÜLLER & HEINROTH). $\frac{1}{1}$.
 Slika 12-15. Varijabilnost korijena kod desnog M_3 pećinskog medvjeda. $\frac{1}{1}$.
 Slika 16-25. Varijabilnost u obliku i gradi krune kod desnog M^2 pećinskog medvjeda. $\frac{1}{1}$.

Tafel III.

Fig. 1-11. Variabilität der Form und des Baues der Zahnkrone des rechten M_3 von Höhlenbären. $\frac{1}{1}$.
 Fig. 12-15. Variabilität der Wurzel des rechten M_3 von Höhlenbären. $\frac{1}{1}$.
 Fig. 16-25. Die Variabilität der Form und des Baues der Zahnkrone des rechten M^2 von Höhlenbären. $\frac{1}{1}$.

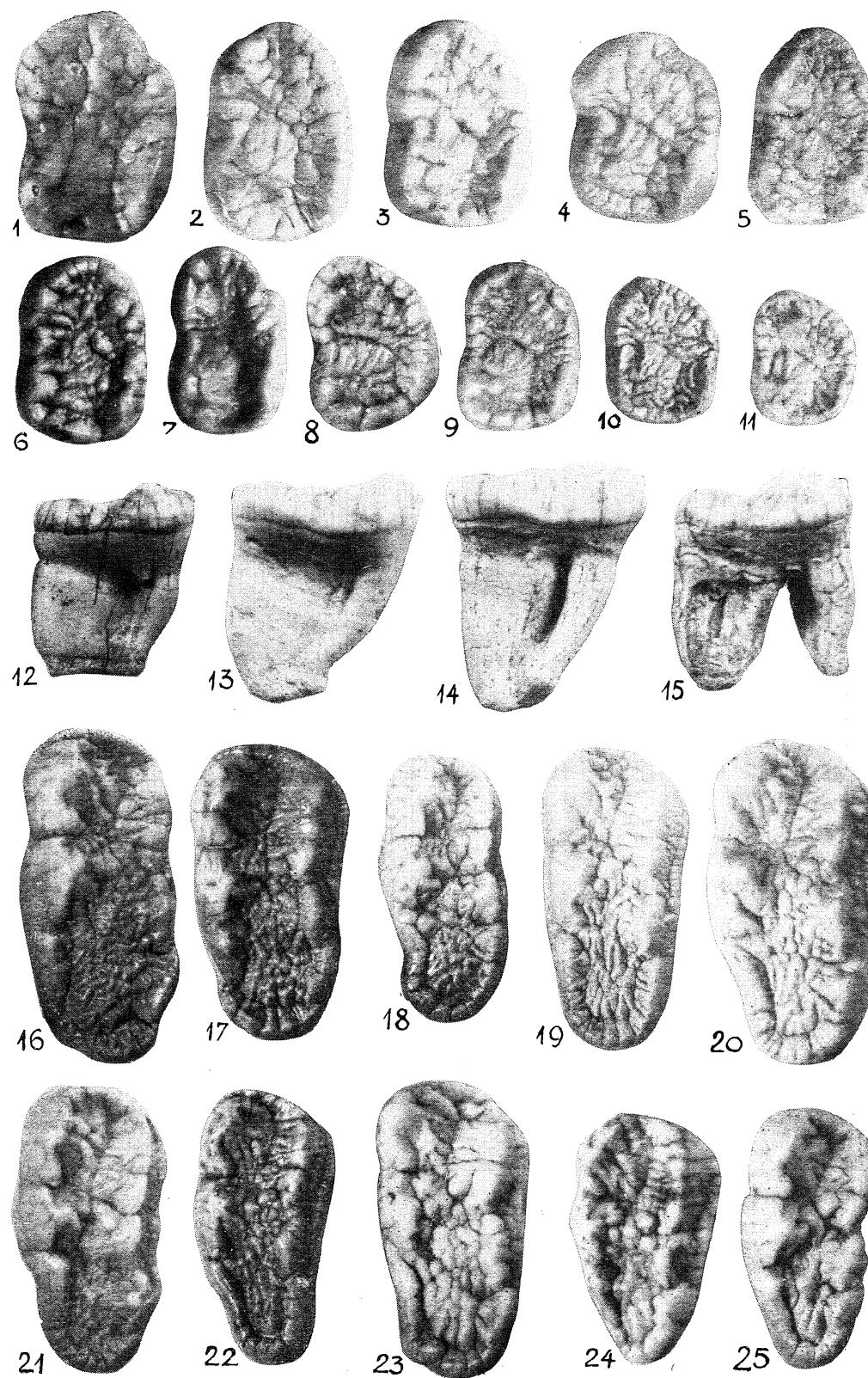


Tabla IV.

- Slika 1 i 9. Frakturirane fibule pećinskog medvjeda. $\frac{1}{1}$.
 Slika 2. Kalkaneus jelena oglodan od glodavaca. $\frac{1}{1}$.
 Slika 3. Fragment cjevanice pećinskog medvjeda oglodan od glodavaca (vjerojatno po *Hystrix* sp.). $\frac{1}{2}$.
 Slika 4. Od rahitisa svinuti i deformirani metakarpus pećinskog medvjeda. $\frac{1}{1}$.
 Slika 5. Koštane izrasline i kvržice kao posljedica bolesti na falangi pećinskog medvjeda. $\frac{1}{1}$.
 Slika 6-8. Bolešću izmijenjeni i deformirani metatarsusi pećinskog medvjeda. $\frac{1}{1}$.

Tafel IV.

- Fig. 1 und 9. Frakturierte Höhlenbärenfibulae. $\frac{1}{1}$.
 Fig. 2. Calcaneus eines Hirsches, abgenagt von Nagetieren. $\frac{1}{1}$.
 Fig. 3. Abgenagtes Schienbeinfragment eines Höhlenbären. $\frac{1}{2}$.
 Fig. 4. Durch Rachitis gebogener und deformierter Metacarpus eines Höhlenbären. $\frac{1}{1}$.
 Fig. 5. Knöchernen Auswüchse und krankhafte Knötchen an der Phalanx eines Höhlenbären. $\frac{1}{1}$.
 Fig. 6-8. Durch Krankheit veränderter und deformierter Höhlenbärenmetatarsus. $\frac{1}{1}$.

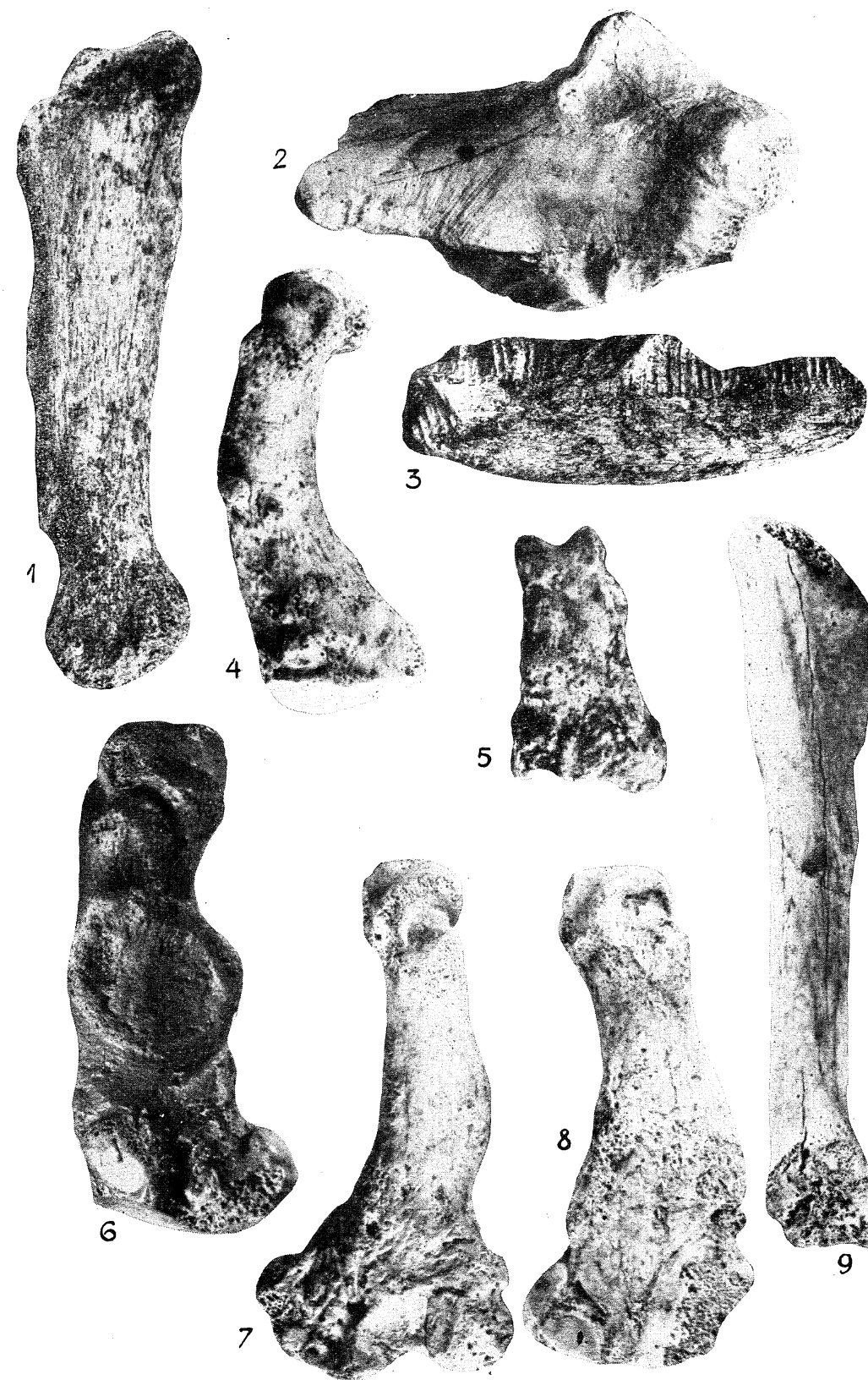


Tabla V.

- Slika 1. Koštane tvorevine na bolesnoj desnoj ulni pećinskog medvjeda. $\frac{1}{2}$.
 Slika 2. Fragment bolesnog rebra pećinskog medvjeda. $\frac{1}{4}$.
 Slika 3. Bolešću promijenjen i deformiran metatarzus pećinskog medvjeda. $\frac{1}{4}$.
 Slika 4. Dvije falange pećinskog medvjeda bolešću spojene zajedno. $\frac{1}{4}$.
 Slika 5. Bolešću izmijenjen zglobni valjak donje čeljusti pećinskog medvjeda. $\frac{1}{4}$.
 Slika 6. Frakturirani distalni dio humerusa pećinskog medvjeda s tragovima pseudoarthrose. $\frac{1}{4}$.

Tafel V.

- Fig. 1. Knöcherne Bildungen an der kranken rechten Ulna eines Höhlenbären. $\frac{1}{2}$.
 Fig. 2. Fragment einer kranken Höhlenbärenrippe. $\frac{1}{4}$.
 Fig. 3. Durch Krankheit veränderter und deformierter Höhlenbärenmetatarsus. $\frac{1}{4}$.
 Fig. 4. Zwei Phalanxe, durch Krankheit verwachsen. $\frac{1}{4}$.
 Fig. 5. Durch Krankheit veränderte Gelenksfortsetzung des Unterkiefers eines Höhlenbären. $\frac{1}{4}$.
 Fig. 6. Frakturierter distaler Teil des Humerus eines Höhlenbären mit Spuren von Pseudoarthrose. $\frac{1}{4}$.

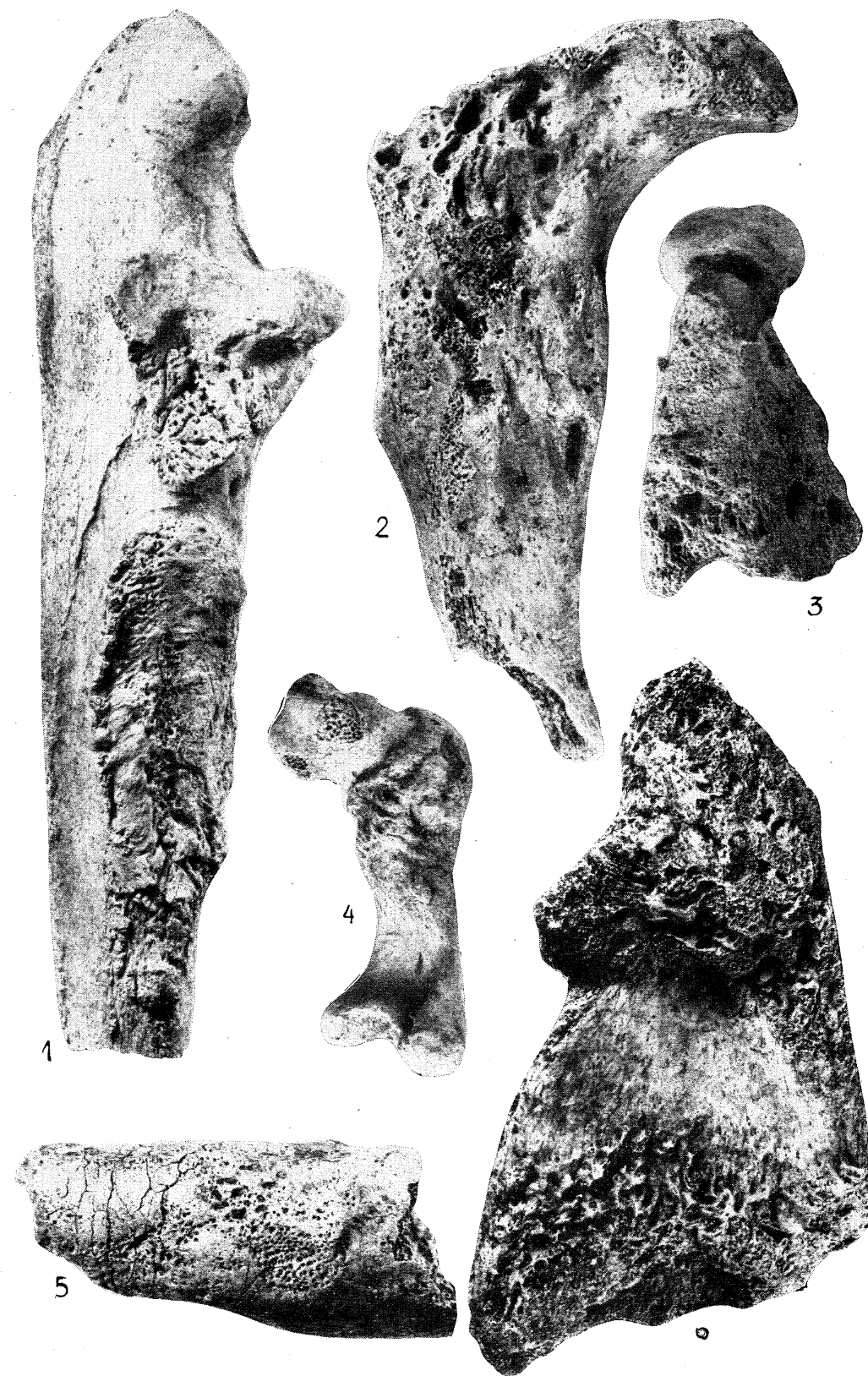


Tabla VI.

- Slika 1a i 1b. Strugalo iz crnog i jedrog kremenca; a, dorzalna, b, ventralna strana. $\frac{1}{1}$.
 Slika 2. Lijepi musterijski ručni šiljak iz zelenkastog kremenca. $\frac{1}{1}$.
 Slika 3a i 3b. Bilateralno simetričan šiljak, rubovi fino retuširani; a, dorzalna, b, ventralna strana. $\frac{1}{1}$.
 Slika 4. Plosnato strugalo s polukružnim rubom. $\frac{1}{1}$.
 Slika 5. Trouglasto strugalo iz sitnozrnog kremenog materijala. $\frac{1}{1}$.
 Slika 6. Patinirano strugalo iz tamnozelenog finog kremenca. $\frac{1}{1}$.
 Slika 7. Šiljak iz svijetlozelenog jedrog i finog kremenca. $\frac{1}{1}$.
 Slika 8. Široko i plosnato strugalo iz crnog eruptiva. $\frac{1}{1}$.

Tafel VI.

- Fig. 1a und 1b. Schaber aus schwarzem dichtem Quarz. $\frac{1}{1}$.
 Fig. 2. Schöne musterienische Handspitze aus grünlichem Quarz. $\frac{1}{1}$.
 Fig. 3a und 3b. Bilateralsymmetrische Spitze, mit fein retuschierten Kanten, a, dorsale Seite, b, ventrale Seite. $\frac{1}{1}$.
 Fig. 4. Flacher Schaber mit halbkreisförmiger Kante. $\frac{1}{1}$.
 Fig. 5. Dreikantiger Schaber aus feinkörnigem Quarz. $\frac{1}{1}$.
 Fig. 6. Patinierter Schaber aus dunkelgrünem Quarz. $\frac{1}{1}$.
 Fig. 7. Spitze aus lichtgrünem feinem Quarz. $\frac{1}{1}$.
 Fig. 8. Breiter flacher Schaber aus schwarzem Eruptiv. $\frac{1}{1}$.

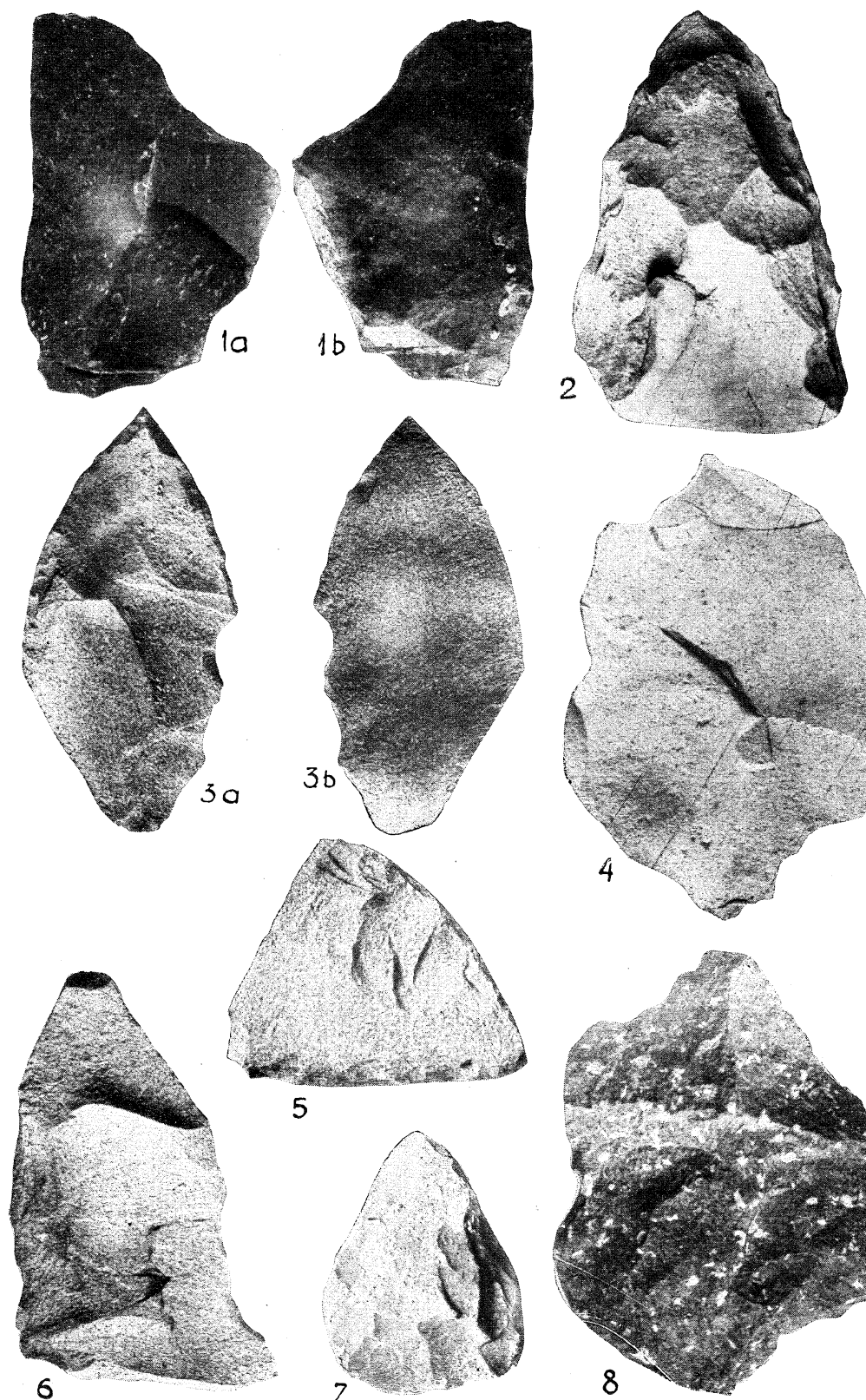


Tabla VII.

- Slika 1. Veliko duguljasto strugalo strmog ruba iz zelenog kremena. $\frac{1}{1}$.
 Slika 2. Lijepo izrađen šiljak iz finog zelenog kremena. $\frac{1}{1}$.
 Slika 3. Mali disk iz svijetlozelenog kremenog materijala. $\frac{1}{1}$.
 Slika 4. Strugalo strmih rubova iz crnog eruptiva. $\frac{1}{1}$.
 Slika 5. Strugalo iz sivog finožrnatog kremenog materijala. $\frac{1}{1}$.
 Slika 6a i 6b. Široko plosnato strugalo sa šiljkom na terminalnom rubu; a, dorzalna, b, ventralna strana. $\frac{1}{1}$.
 Slika 7. Šiljak iz kremena bjelutka. $\frac{1}{1}$.
 Slika 8. Strugalo s ovalnim rubom iz kremena bjelutka. $\frac{1}{1}$.
 Slika 9. Trapezoidno strugalo iz kremena bjelutka. $\frac{1}{1}$.

Tafel VII.

- Fig. 1. Grosser Schaber mit steilen Rändern aus grünlichem feinkörnigem Quarz. $\frac{1}{1}$.
 Fig. 2. Schöne Spitze aus feinkörnigem Quarz. $\frac{1}{1}$.
 Fig. 3. Kleiner Diskus aus hellgrünlichem Quarz. $\frac{1}{1}$.
 Fig. 4. Schaber mit steilen Rändern aus schwarzem Eruptiv. $\frac{1}{1}$.
 Fig. 5. Schaber aus grauem feinkörnigem Quarz. $\frac{1}{1}$.
 Fig. 6a und 6b. Breiter flacher Schaber mit kleiner Spitze. $\frac{1}{1}$.
 Fig. 7. Spitze aus Milchquarz. $\frac{1}{1}$.
 Fig. 8. Schaber mit ovaler Kante aus Milchquarz. $\frac{1}{1}$.
 Fig. 9. Trapezoidaler Schaber aus Milchquarz. $\frac{1}{1}$.

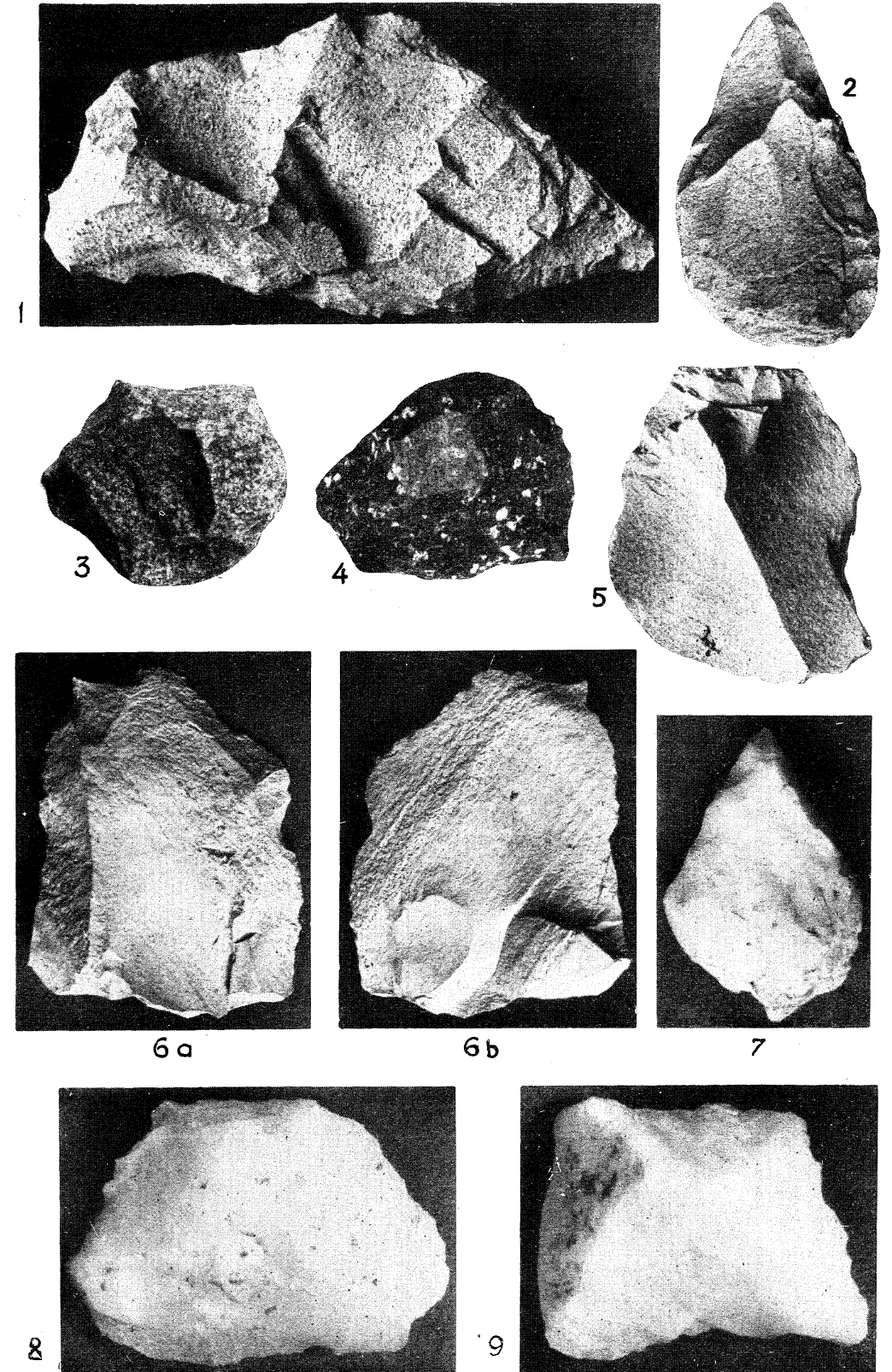


Tabla VIII.

Slika 1. Ognjište na granici sedmog i osmog sloja na kvadratu m 3; ispod ognjišta vidi se parijetalni dio lubanje pećinskog medvjeda, a desno od nje očnjak iste životinje.

Slika 2. Pogled na iskopanu sondu u prepećinskom terenu, vidljiva je donja serija slojeva (osmi, sedmi i šesti sloj).

Tafel VIII.

Fig. 1. Die Feuerstätte auf der Grenze der siebenten und der achten Schichte im Quadrat m 3. Auf dem Bilde unter der Feuerstätte der parietale Teil des Höhlenbärenschädels und rechts davon der Eckzahn des Tieres.

Fig. 2. Blick in die ausgegrabene Sonde des Höhlenvorgeländes. Sichtbar die untere Schichtenserie (achte, siebente und sechste Schichte).



1



2